

doi: 10.13241/j.cnki.pmb.2022.13.018

## 肺鳞状细胞癌和腺癌 PD-L1 蛋白及相关 miRNA 表达差异的研究 \*

李廷慧<sup>1</sup> 刘芳<sup>2</sup> 任志鹏<sup>2</sup> 侯晓彬<sup>2△</sup>

(1解放军总医院第八医学中心皮肤科 北京 100091;2解放军总医院第一医学中心胸外科 北京 100853)

**摘要 目的:**探讨肺鳞状细胞癌(鳞癌)和腺癌 PD-L1 蛋白及相关 miRNA 表达的差异。**方法:**2019 年 5 月至 2020 年 11 月来我院就诊的非小细胞肺癌初治患者纳入本项研究;按照病理类型,将患者分为腺癌组和鳞癌组;H&E 染色检测免疫细胞数量;免疫组化检测 PD-L1、Ki-67、PD-1、CTLA-4 和 LAG-3 的表达;miRNA 测序筛选鳞癌和腺癌间差异表达的 miRNA。**结果:**H&E 染色结果显示鳞癌组微环境中免疫细胞的数量为  $86.86 \pm 8.96$  个 / 高倍视野 (HPF), 腺癌组的数量为  $26.29 \pm 3.99$  个 /HPF ( $t=6.173, P<0.001$ ); 肺鳞癌组微环境免疫细胞 PD-1、CTLA-4 和 LAG-3 阳性表达的比例分别为  $53.71 \pm 6.88\%$ 、 $35.29 \pm 3.25\%$  和  $34.43 \pm 3.29\%$ , 腺癌组阳性表达的比例分别为  $22.29 \pm 3.80\%$ 、 $13.43 \pm 2.32\%$  和  $24.00 \pm 1.98\%$  ( $t=3.997, P=0.002$ ;  $t=5.476, P<0.001$ ;  $t=2.719, P=0.019$ ); 肺鳞癌组患者 PD-L1 蛋白阳性表达的比例为 76.67%, 腺癌组的比例为 36.67% ( $P=0.001$ ); 肺鳞癌 PD-L1(miR-135、miR-24 和 miR-30b 等) 和 PD-1(miR-802、miR-155 和 miR-3127-5p 等) 相关 miRNA 的表达均显著高于腺癌。**结论:**肺鳞癌 PD-L1 蛋白及相关 miRNA 的表达、微环境免疫细胞 PD-1、CTLA-4 和 LAG-3 阳性比例均显著高于腺癌。

**关键词:**非小细胞肺癌;鳞癌;腺癌;PD-L1;miRNA

中图分类号:R734.2 文献标识码:A 文章编号:1673-6273(2022)13-2495-04

## Differences of PD-L1 Protein and Related miRNA Expression in Lung Squamous Cell Carcinoma and Adenocarcinoma\*

LI Ting-hui<sup>1</sup>, LIU Fang<sup>2</sup>, REN Zhi-peng<sup>2</sup>, HOU Xiao-bin<sup>2△</sup>

(1 Department of dermatology, The 8th Medical Center, Chinese PLA General Hospital, Beijing, 1000091, China;

2 Department of thoracic surgery, The First Medical Center, Chinese PLA General Hospital, Beijing, 100853, China)

**ABSTRACT Objective:** To investigate the differences of PD-L1 protein and related miRNA expression between lung squamous cell carcinoma and adenocarcinoma. **Methods:** From May 2019 to November 2020, newly treated patients with non-small cell lung cancer in our hospital were included in this study. According to the pathological types, the patients were divided into adenocarcinoma group and squamous cell carcinoma group. H&E staining was used to detect the number of immune cells. PD-L1, Ki-67, PD-1, CTLA-4 and LAG-3 expression was detected by immunohistochemistry. The differentially expressed miRNAs between squamous cell carcinoma and adenocarcinoma were screened by miRNA sequencing. **Results:** H&E staining results showed that the number of microenvironment immune cells in squamous cell carcinoma group was  $86.86 \pm 8.96$ /HPF, and that in adenocarcinoma group was  $26.29 \pm 3.99$ /HPF ( $t=6.173, P<0.001$ ). The positive expression rates of PD-1, CTLA-4 and LAG-3 in microenvironment immune cells of lung squamous cell carcinoma group were  $53.71 \pm 6.88\%$ ,  $35.29 \pm 3.25\%$  and  $34.43 \pm 3.29\%$ , respectively, and those of adenocarcinoma group were  $22.29 \pm 3.80\%$ ,  $13.43 \pm 2.32\%$  and  $24.00 \pm 1.98\%$  ( $t=3.997, P=0.002$ ;  $t=5.476, P<0.001$ ;  $t=2.719, P=0.019$ ). The positive expression of PD-L1 protein was 76.67% in lung squamous cell carcinoma group and 36.67% in adenocarcinoma group ( $P=0.001$ ). The expression of miRNAs associated with PD-L1 (miR-135, miR-24 and miR-30b, etc.) and PD-1 (miR-802, miR-155 and miR-3127-5p, etc.) in lung squamous cell carcinoma was significantly higher than that in adenocarcinoma. **Conclusion:** The expression of PD-L1 protein and related miRNA in lung squamous cell carcinoma, the positive proportion of PD-1, CTLA-4 and LAG-3 in microenvironment immune cells were significantly higher than those in adenocarcinoma.

**Key words:** Non-small cell lung cancer; Squamous cell carcinomas; Adenocarcinoma; PD - L1; miRNA

**Chinese Library Classification(CLC): R734.2 Document code: A**

**Article ID:** 1673-6273(2022)13-2495-04

### 前言

近几年,我国肺癌发病呈快速上升和年轻化的趋势,目前

已经位居癌症死亡的首位。非小细胞肺癌(Non small cell lung cancer, NSCLC)约占所有肺癌的 80%,腺癌和鳞状细胞癌(鳞癌)是最常见的病理类型<sup>[1]</sup>。免疫治疗是最有前景的治疗手段,

\* 基金项目:全军“十二五”应用基础研究面上项目(CWS11J105)

作者简介:李廷慧(1974-),副主任医师,主要研究方向:免疫调控与疾病发生

△ 通讯作者:侯晓彬(1975-),男,医学博士,副主任医师,主要研究方向:肺癌的免疫治疗,E-mail:drhouxb@163.com

(收稿日期:2022-01-27 接受日期:2022-02-23)

程序性细胞死亡蛋白 1 (Programmed death-1, PD-1)、PD-L1 是最重要的免疫检查点<sup>[2,3]</sup>。目前已经有数种 PD-1/PD-L1 抑制剂进入临床使用, 包括 Nivolumab、Pembrolizumab 和 Atezolizumab 等。许多临床研究结果均显示 PD-1/PD-L1 抑制剂可显著提高晚期 NSCLC 患者的生存期、总反应率和无进展生存期, 疗效优于单纯化疗组<sup>[4,5]</sup>。对于肺腺癌等大部分的恶性肿瘤, PD-1/PD-L1 抑制剂的治疗效果与 PD-L1 的表达呈正相关性, 而对于肺鳞癌, PD-1/PD-L1 抑制剂的治疗效果与 PD-L1 的表达却不具有相关性<sup>[7,8]</sup>, 引起这种治疗效果差异的原因目前尚不清楚。本项目旨在研究肺腺癌和鳞癌间 PD-L1 蛋白及其 miRNA 表达的差异, 为临床免疫治疗提供新的理论依据。

## 1 材料和方法

### 1.1 临床资料

2019 年 5 月至 2020 年 11 月来我院就诊的 NSCLC 初治患者纳入本项研究。纳入标准: 年龄在 18 至 65 周岁之间、病理诊断为 NSCLC、患者知情且同意参与本项研究; 排除标准: 合并小细胞癌、肉瘤和类癌等其他肺部肿瘤、合并肺结核或 HIV 等慢性感染性疾病、合并高血压、糖尿病等慢性代谢性疾病、合并严重的血液系统疾病。按照病理类型, 将 NSCLC 患者分为腺癌组和鳞癌组, 每组均为 30 例患者。对比两组患者的性别、年龄、BMI、分化程度、临床分期等, 均没有统计学差异 ( $P$  均  $> 0.05$ )。

### 1.2 试剂和材料

苏木精、伊红、多聚甲醛购于美国 Sigma 公司; 羊血清工作液、免疫组化染色试剂盒购于北京中杉金桥生物科技公司; PD-L1、ki-67、CTLA-4 和 LAG-3 的一抗购于美国 Abcam 公司; Trizol 试剂购于美国 Invitrogen 公司; miRNA 测序由广州锐博生物科技公司提供检测服务。

### 1.3 免疫组化

肺鳞癌和腺癌手术切除标本切成  $1 \times 1 \text{ cm}^2$  大小, 4% 多聚甲醛固定过夜, 石蜡切片后进行 H&E 染色。一部分切片在 100% 二甲苯中脱蜡 30 min, 3% 过氧化氢处理, 羊血清工作液进行抗原封闭。加入 PD-L1、ki-67、PD-1、CTLA-4 或者 LAG-3 的一抗, 4 度冰箱中孵育 16 h。PBS 清洗 3 次, 加入生物素标记二抗, 37 度孵育 4 h。PBS 清洗 3 次后, 加入碱性磷酸酶标记的链霉卵白素工作液。清洗 3 次后进行免疫组化显色, 待显示到合适颜色深度后使用自来水轻柔的冲洗。之后置于苏木精溶液中复染, 脱水, 透明, 封片, 最后在显微镜下观察 PD-L1、ki-67、PD-1、CTLA-4 和 LAG-3 阳性表达细胞的比例。

### 1.4 miRNA 测序

收集肺鳞癌和腺癌手术切除的新鲜标本(鳞癌和腺癌各 4 例), 置于液氮中保存。采用 Trizol 试剂处理标本后, 由广州锐博生物科技公司进行 miRNA 测序, 筛选差异表达的 miRNA。

### 1.5 统计学分析

数据采用 GraphPad 软件进行统计分析, 计数资料之间的比较采用卡方检验, 计量资料之间的比较采用 t 检验,  $P < 0.05$  表明鳞癌组和腺癌组之间的差异具有统计学意义。

## 2 结果

### 2.1 患者的一般资料

鳞癌组患者男性 18 名, 女性 12 名, 平均年龄  $57.71 \pm 3.39$  岁, 平均 BMI 为  $21.29 \pm 0.87 \text{ kg/m}^2$ ; 腺癌组男性 14 名, 女性 16 名, 平均年龄  $49.57 \pm 3.42$  岁, 平均 BMI 为  $22.05 \pm 0.93 \text{ kg/m}^2$ 。对比两组患者的一般资料, 差异均没有统计学意义 ( $P$  均  $> 0.05$ )。

表 1 患者的一般资料

Table 1 General patient information

| Items                         | Squamous carcinoma | Adenocarcinoma   | <i>P</i> value |
|-------------------------------|--------------------|------------------|----------------|
| Gender (male)                 | 18                 | 14               | 0.438          |
| Age (year)                    | $57.71 \pm 3.39$   | $49.57 \pm 3.42$ | 0.116          |
| BMI( $\text{kg}/\text{m}^2$ ) | $21.29 \pm 0.87$   | $22.05 \pm 0.93$ | 0.559          |
| Differentiation               |                    |                  | 0.302          |
| High - medium                 | 12                 | 17               |                |
| Low                           | 18                 | 13               |                |

### 2.2 微环境免疫细胞 PD-1、CTLA-4 和 LAG-3 的表达的比较

H&E 染色的结果显示鳞癌组微环境免疫细胞的数量为  $86.86 \pm 8.96$  个 / 高倍视野 (HPF), 腺癌组的数量为  $26.29 \pm 3.99$  个 / HPF, 两组之间具有显著的统计学差异 ( $t = 6.173, P < 0.001$ ); 肺鳞癌组微环境免疫细胞 PD-1、CTLA-4 和 LAG-3 阳性表达的比例分别为  $53.71 \pm 6.88\%$ 、 $35.29 \pm 3.25\%$  和  $34.43 \pm 3.29\%$ , 腺癌组阳性表达的比例分别为  $22.29 \pm 3.80\%$ 、 $13.43 \pm 2.32\%$  和  $24.00 \pm 1.98\%$ , 差异均具有显著的统计学意义 ( $t = 3.997, P = 0.002$ ;  $t = 5.476, P < 0.001$ ;  $t = 2.719, P = 0.019$ )。图 1。

### 2.3 PD-L1 蛋白的表达的比较

肺鳞癌组患者 PD-L1 蛋白阳性表达的比例为 76.67%, 腺癌组的比例为 36.67%, 差异具有显著的统计学意义 ( $P = 0.001$ ); 腺癌组患者 ki-67 增殖指数为  $24.71 \pm 2.60\%$ , 腺癌组的增殖指数为  $20.29 \pm 3.83\%$ , 差异不具有统计学意义 ( $t = 0.957, P = 0.357$ )。图 2。

### 2.4 PD-1 和 PD-L1 相关 miRNA 表达的比较

肺鳞癌 PD-L1 (miR-135、miR-24、miR-30b、miR-141、miR-802、miR-1184 和 miR-429) 和 PD-1 (miR-802、miR-155、miR-3127-5p、miR-940 和 miR-181) 相关 miRNA 的表达均显著高于腺癌。图 3。

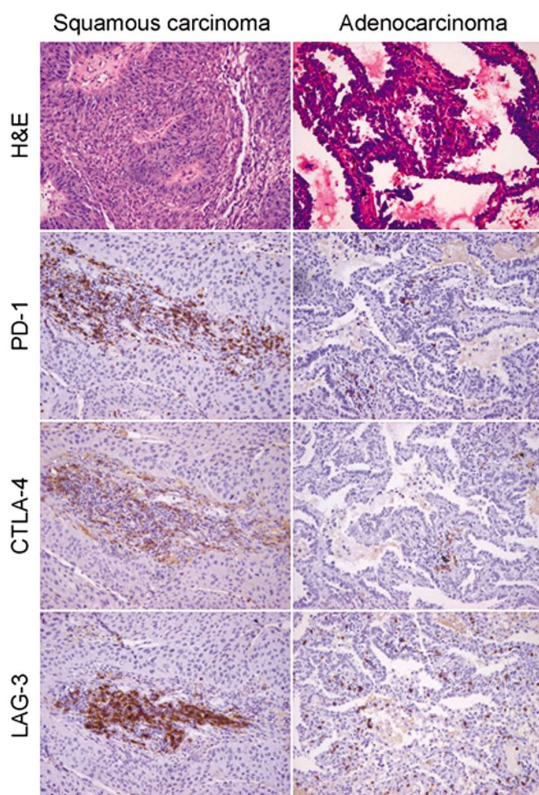


图 1 H&E 染色检测免疫细胞的数量, 免疫组化检测 PD-1、CTLA-4 和 LAG-3 阳性表达免疫细胞的比例

Fig.1 H&E staining was used to detect the number of immune cells, and immunohistochemistry was used to detect the proportion of PD-1, CTLA-4 and LAG-3 positive immune cells

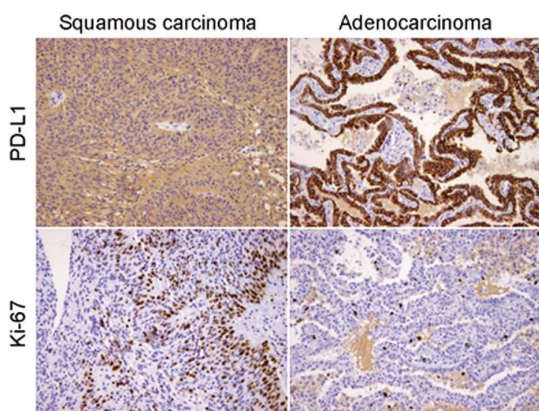


图 2 免疫组化检测 PD-L1 和 ki-67 的表达, 图显示 PD-L1 阳性表达的肺鳞癌和腺癌的病理学特征

Fig. 2 Immunohistochemistry was used to detect the expression of PD-L1 and Ki-67, showing the pathological features of lung squamous cell carcinoma and adenocarcinoma with positive PD-L1 expression

### 3 讨论

进入 21 世纪后, 环境污染、吸烟和人口老龄化等使得我国肺癌的发病逐年快速升高。手术切除是早期肺鳞癌和腺癌最主要的治疗手段, 晚期 NSCLC 则倾向于更优化的个体治疗方案。目前已经有数种针对肺腺癌的靶向药物进入临床, 临床研究的结果显示这些药物具有很好的治疗效果。而对于肺鳞癌, 目前还没有十分有效的靶向药物<sup>[9]</sup>。随着分子生物学、免疫学及生物

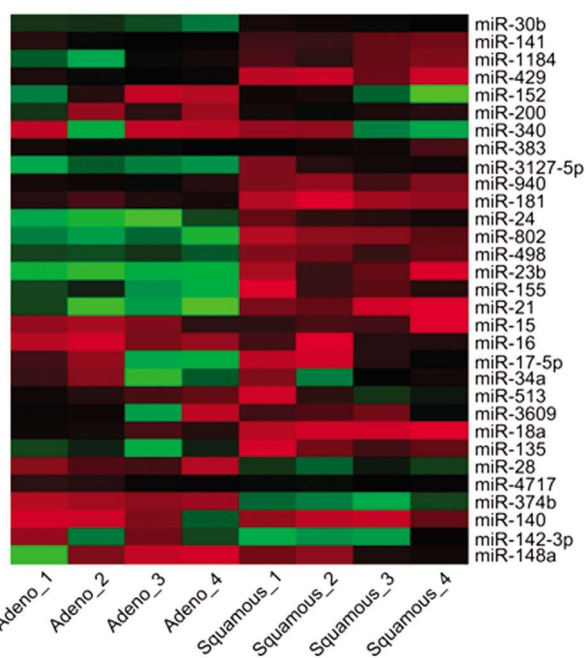


图 3 miRNA 表达的热图, 肺鳞癌 PD-1 和 PD-L1 相关 miRNA 表达显著高于腺癌

Fig.3 Heat map of miRNA expression, pD-1 and PD-L1 related miRNA expression in lung squamous cell carcinoma was significantly higher than that in adenocarcinoma

工程技术研究的深入和临床转化, 免疫治疗已经成为当前肿瘤治疗领域的研究热点<sup>[10]</sup>。PD-1 是目前最常用的免疫检查点, 主要表达于活化的 CD4<sup>+</sup>T 细胞、CD8<sup>+</sup>T 细胞和巨噬细胞等。调节性 T 细胞和 M2 型单核 / 巨噬细胞表面等免疫抑制细胞表面也可以检测到 PD-1 的高表达<sup>[11]</sup>。PD-L1 是 PD-1 的主要配体, 在许多恶性肿瘤表面高表达, 包括 NSCLC、尿路上皮癌、恶性黑色素瘤和前列腺癌等<sup>[12-14]</sup>。我们收集肺鳞癌和腺癌手术切除标本各 30 例, 免疫组化结果显示肺鳞癌 PD-L1 阳性表达的比例显著高于腺癌, 鳞癌内浸润免疫细胞 PD-1 阳性表达的比例也高于腺癌, 差异均具有统计学意义。这些结果提示 PD-1/PD-L1 抑制剂对肺鳞癌的治疗效果似乎要优于腺癌, 然而临床研究结果却显示对于 PD-L1 表达 ≥ 1% 的 NSCLC 患者, PD-1/PD-L1 抑制剂治疗肺鳞癌组的总生存率、无进展生存期、客观缓解率均显著低于腺癌组。这说明一些因素可能影响了肺鳞癌的 PD-1/PD-L1 抑制剂治疗效果。

CTLA-4 和 LAG-3 是另外两种常用的免疫检查点, 目前有相关靶向药物正在进行临床实验, 均显示出很好的临床疗效<sup>[15-17]</sup>。CTLA-4 又被称为 CD152, 主要在活化的 T 细胞和调节性 T 细胞表面表达, 可通过与抗原呈递细胞表面的 CD80 或 CD86 结合, 达到抑制免疫反应的作用。研究显示 CTLA-4 的表达与 NSCLC 的恶性程度、临床分期以及分化程度均具有一定的相关性<sup>[18]</sup>。LAG-3 主要在活化的 T 细胞、NK 细胞、以及调节性 T 细胞表面高表达, 在维持免疫平衡和内环境稳定中发挥着重要的生物学功能<sup>[19]</sup>。研究显示 NSCLC 微环境中 LAG-3+ 免疫细胞比例显著升高, 参与了肿瘤的免疫逃逸和远处转移。我们进一步比较了 NSCLC 不同病理类型间 CTLA-4 和 LAG-3 的差异, 结果显示肺鳞癌微环境中 CTLA-4+ 和 LAG-3+ 免疫细胞的比例均显著高于腺癌。在 PD-1/PD-L1 抑制剂阻断 PD-1 与

PD-L1 后,鳞癌内高表达 CTLA-4 和 LAG-3 的免疫细胞免疫激活被抑制,很难发挥相应的肿瘤杀伤活性,这可能是 PD-1/PD-L1 抑制剂治疗肺鳞癌效果不佳的重要原因,具体的机制还需要进一步研究。

miRNA 主要在转录后水平调控靶基因的表达,越来越多的证据表明 miRNA 家族在 NSCLC 的发生、进展、转移和复发中均发挥着重要的作用<sup>[20]</sup>。我们前期筛选和明确了 9 种具有诊断意义的 miRNA (miR-486-1、miR-486-2、miR-153、miR-210、miR-9-1、miR-9-2、miR-9-3、miR-577 和 miR-4732),可用于肺腺癌的筛查和治疗效果的预测<sup>[21]</sup>。miRNA 与免疫反应具有紧密的相关性,是维持免疫稳态的关键分子,可调控 T 细胞的增殖、活化、分化和免疫应答等<sup>[22-24]</sup>。miRNA 调控 PD-L1 的表达,主要是通过 PTEN/AKT (miR-18a、miR-23a-5p 和 miR-21 等) 和 STAT (miR-802 和 miR-135 等) 等通路介导的<sup>[25]</sup>。我们采用 miRNA 测序筛选了肺腺癌和鳞癌之间 miRNA 差异,结果显示鳞癌细胞内促进 PD-L1 和 PD-1 表达的 miRNA 均显著高于腺癌。最新研究显示肿瘤细胞细胞可通过外泌体递送 PD-L1 信号,抑制 PD-1/PD-L1 抑制剂引起的 T 细胞活化和增殖,敲除外泌体生成和分泌的关键基因可明显提高 PD-1/PD-L1 抑制剂的治疗效果<sup>[26]</sup>。这提示鳞癌细胞可能通过外泌体将 PD-L1 相关 miRNA 递送到免疫细胞内,诱导 PD-1/PD-L1 抑制剂的耐药,相关机制需要进一步实验验证。

综上,肺鳞癌 PD-L1 蛋白及相关 miRNA 的表达、微环境免疫细胞 PD-1、CTLA-4 和 LAG-3 阳性比例均显著高于腺癌,我们的研究为 NSCLC 的免疫治疗提供了新的理论参考。

#### 参 考 文 献(References)

- [1] Yang CY, Yang JC, Yang PC. Precision Management of Advanced Non-Small Cell Lung Cancer[J]. Annu Rev Med, 2020, 71: 117-136
- [2] Wei SC, Levine JH, Cogdill AP, et al. Distinct Cellular Mechanisms Underlie Anti-CTLA-4 and Anti-PD-1 Checkpoint Blockade[J]. Cell, 2017, 170(6): 1120-1133
- [3] Dummer R, Lebbe C, Atkinson V, et al. Combined PD-1, BRAF and MEK inhibition in advanced BRAF-mutant melanoma: safety run-in and biomarker cohorts of COMBI-i [J]. Nat Med, 2020, 26 (10): 1557-1563
- [4] Borghaei H, Paz-Ares L, Horn L, et al. Nivolumab versus Docetaxel in Advanced Nonsquamous Non-Small-Cell Lung Cancer [J]. N Engl J Med, 2015, 373(17): 1627-1639
- [5] Horn L, Spigel DR, Vokes EE, et al. Nivolumab Versus Docetaxel in Previously Treated Patients With Advanced Non-Small-Cell Lung Cancer: Two-Year Outcomes From Two Randomized, Open-Label, Phase III Trials (CheckMate 017 and CheckMate 057) [J]. J Clin Oncol, 2017, 35(35): 3924-3933
- [6] Brahmer J, Reckamp KL, Baas P, et al. Nivolumab versus Docetaxel in Advanced Squamous-Cell Non-Small-Cell Lung Cancer [J]. N Engl J Med, 2015, 373(2): 123-135
- [7] Abu Hejleh T, Furqan M, Ballas Z, et al. The clinical significance of soluble PD-1 and PD-L1 in lung cancer [J]. Crit Rev Oncol Hematol, 2019, 143: 148-152
- [8] Tsoukalas N, Kiakou M, Tsapakidis K, et al. PD-1 and PD-L1 as immunotherapy targets and biomarkers in non-small cell lung cancer [J]. J BUON, 2019, 24(3): 883-888
- [9] Herbst RS, Morgensztern D, Boshoff C. The biology and management of non-small cell lung cancer[J]. Nature, 2018, 553(7689): 446-454
- [10] Nosaki K, Saka H, Hosomi Y, et al. Safety and efficacy of pembrolizumab monotherapy in elderly patients with PD-L1-positive advanced non-small-cell lung cancer: Pooled analysis from the KEYNOTE-010, KEYNOTE-024, and KEYNOTE-042 studies [J]. Lung Cancer, 2019, 135: 188-195
- [11] Bodor JN, Boumber Y, Borghaei H. Biomarkers for immune checkpoint inhibition in non-small cell lung cancer (NSCLC) [J]. Cancer, 2020, 126(2): 260-270
- [12] Miyazawa T, Marushima H, Saji H, et al. PD-L1 Expression in Non-Small-Cell Lung Cancer Including Various Adenocarcinoma Subtypes[J]. Ann Thorac Cardiovasc Surg, 2019, 25(1): 1-9
- [13] Zhang M, Li G, Wang Y, et al. PD-L1 expression in lung cancer and its correlation with driver mutations: a meta-analysis [J]. Sci Rep, 2017, 7(1): 10255
- [14] Gao Y, Yang J, Cai Y, et al. IFN-γ-mediated inhibition of lung cancer correlates with PD-L1 expression and is regulated by PI3K-AKT signaling[J]. Int J Cancer, 2018, 143(4): 931-943
- [15] Formenti SC, Rudqvist NP, Golden E, et al. Radiotherapy induces responses of lung cancer to CTLA-4 blockade [J]. Nat Med, 2018, 24 (12): 1845-1851
- [16] Reck M, Borghaei H, O'Byrne KJ. Nivolumab plus ipilimumab in non-small-cell lung cancer[J]. Future Oncol, 2019, 15(19): 2287-2302
- [17] Datar I, Sanmamed MF, Wang J, et al. Expression Analysis and Significance of PD-1, LAG-3, and TIM-3 in Human Non-Small Cell Lung Cancer Using Spatially Resolved and Multiparametric Single-Cell Analysis[J]. Clin Cancer Res, 2019, 25(15): 4663-4673
- [18] Corrales L, Scilla K, Caglevic C, et al. Immunotherapy in Lung Cancer: A New Age in Cancer Treatment [J]. Adv Exp Med Biol, 2018, 995: 65-95
- [19] Ma C, Sun X, Shen D, et al. Ectopic expression of LAG-3 in non-small-cell lung cancer cells and its clinical significance[J]. J Clin Lab Anal, 2020, 34(6): e23244
- [20] Pozza DH, De Mello RA, Araujo RLC, et al. MicroRNAs in Lung Cancer Oncogenesis and Tumor Suppression: How it Can Improve the Clinical Practice? [J]. Curr Genomics, 2020, 21(5): 372-381
- [21] Ren ZP, Hou XB, Tian XD, et al. Identification of nine microRNAs as potential biomarkers for lung adenocarcinoma[J]. FEBS Open Bio, 2019, 9(2): 315-327
- [22] He Y, Wang Y, Zhao S, et al. sLAG-3 in non-small-cell lung cancer patients' serum[J]. Onco Targets Ther, 2018, 11: 4781-4784
- [23] Cheng Z, Qiu S, Jiang L, et al. MiR-320a is downregulated in patients with myasthenia gravis and modulates inflammatory cytokines production by targeting mitogen-activated protein kinase 1 [J]. J Clin Immunol, 2013, 33(3): 567-76
- [24] Chen H, Lu Q, Chen C, et al. β-catenin regulates effects of miR-24 on the viability and autophagy of glioma cells [J]. Exp Ther Med, 2019, 18(2): 1285-1290
- [25] Ashrafizadeh M, Zarrabi A, Hushmandi K, et al. PD-1/PD-L1 axis regulation in cancer therapy: The role of long non-coding RNAs and microRNAs[J]. Life Sci, 2020, 256: 117899
- [26] Poggio M, Hu T, Pai CC, et al. Suppression of Exosomal PD-L1 Induces Systemic Anti-tumor Immunity and Memory [J]. Cell, 2019, 177(2): 414-427